О вероятностном среднесрочном прогнозе сильных землетрясений Камчатки и параметризации предвестников

Г.Н. Копылова, gala@emsd.ru

г. Петропавловск-Камчатский, 1 октября 2013 г.

Содержание:

- 1. Краткий обзор состояния исследований по проблеме прогноза землетрясений.
- 2. Пример вероятностного прогноза землетрясения 28 февраля 2013 г., М=6.9, Камчатка, с использованием параметрического предвестника.
- 3. Предложения по развитию системы прогнозирования сильных землетрясений по комплексу сейсмопрогностических методов.

Крупная междисциплинарная научная проблема «прогноз землетрясений» включает:

- теоретические исследования с целью обоснования предсказуемости землетрясений (предыдущими исследованиями обоснована принципиальная предсказуемость землетрясений!);
- практика прогнозирования землетрясений с использованием различных предвестников (не решена задача прогноза времени сильных землетрясений с точностью, позволяющей осуществлять превентивные мероприятия).

Классификация предвестников:

По природе образования [Зубков, 2002; Завьялов, 2006 и др.]

- -**геофизические** (сейсмические, гидрогеодинамические, деформационные, геохимические, термические, гравитационные, электромагнитные и др.);
- биологические.

По времени или по типу прогноза [Уломов и др., 2002]

- -долгосрочные (годы десятилетия);
- среднесрочные (месяцы годы);
- краткосрочные (недели сутки);
- -оперативные.

По возможности практического использования

- все предвестники <u>вероятностные</u>, поэтому прогноз может быть только вероятностным [Завьялов, 2006];
 - детерминированные [Добровольский, 2010].

<u>По степени доверия к сведениям о предвестниках</u> [И.П. Добровольский «О проблеме прогноза тектонического землетрясения», Геофизические исследования, 2010, №1.]

- **ложные** (изменения в геофизических полях с амплитудами меньше фоновых вариаций, не имеющие отношения к подготовке землетрясений; **не менее 75% от всех сообщений о предвестниках**);
- -**правдивые** (находятся в соответствии с теорией подготовки тектонического землетрясения);
- -**трудные для понимания** (имеется хорошая статистика, но не ясен физический механизм).

В докладе обосновывается необходимость дополнительной классификации предвестников по возможности (перспективе) их практического использования Специализированными советами по прогнозу землетрясений для обеспечения вероятностной оценки времени сильного землетрясения.

Предлагается разделять все предвестники, используемые для прогноза, на:
- параметрические предвестники (имеющие параметрическое описание их связи с последующими землетрясениями);

- **непараметрические предвестники** (не имеющие параметрического описания или при их неполном параметрическом описании).

землетрясений с М≥М_{пороговое} из некоторой определенной области, перед которыми

предвестник проявлялся; **n** — общее число таких землетрясений; -**вероятность «пропуска цели» Р_{п.ц.}=(n-m)/n ;**

Основные характеристики параметрического предвестника:

- **вероятность связи предвестника и землетрясений, Р=т/п,** где **т** – число

- **вероятность успешного прогноза, р_{у.п.}=k_{п_3}/k**, где **k** − общее число проявлений предвестника, **k_{п_3}** - число проявлений предвестника, сопровождавшихся землетрясениями;

- -вероятность «ложной тревоги», $p_{n.m.} = (k-k_{n-3})/k;$
- **сейсмопрогностическая эффективность предвестника**, показывающая, во сколько раз использование данного предвестника может улучшить прогноз, по сравнению со случайным угадыванием, **J** [Гусев, 1974] **.**

Скв. Е-1

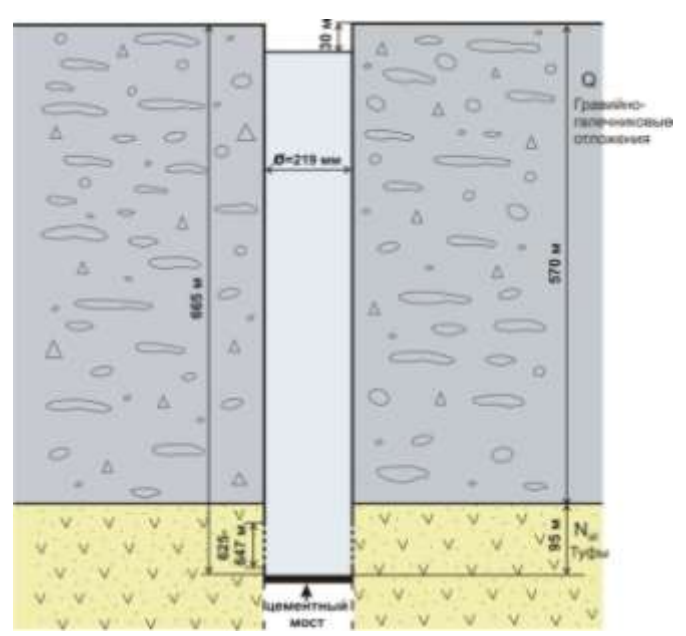


Схема гидрогеодинамического предвестника

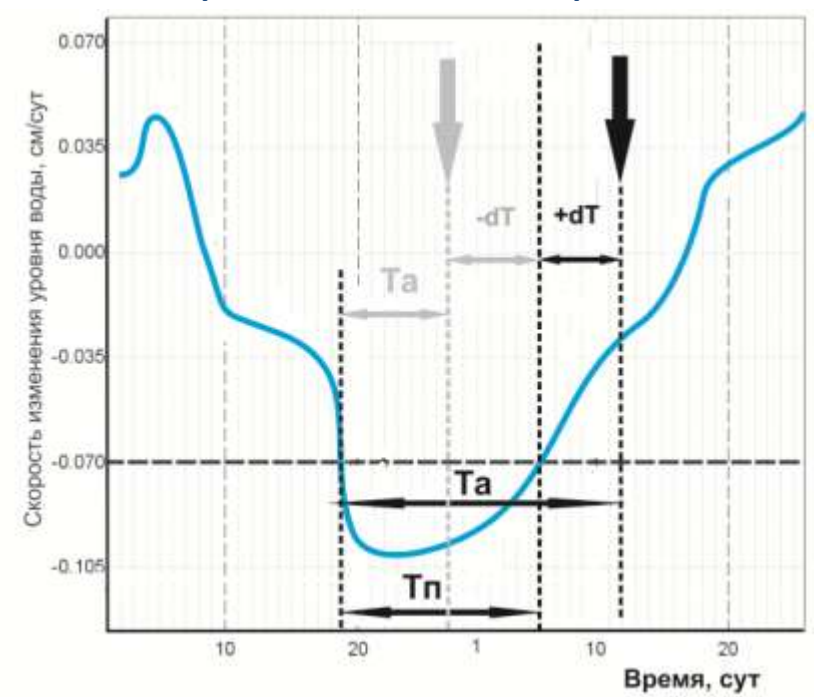
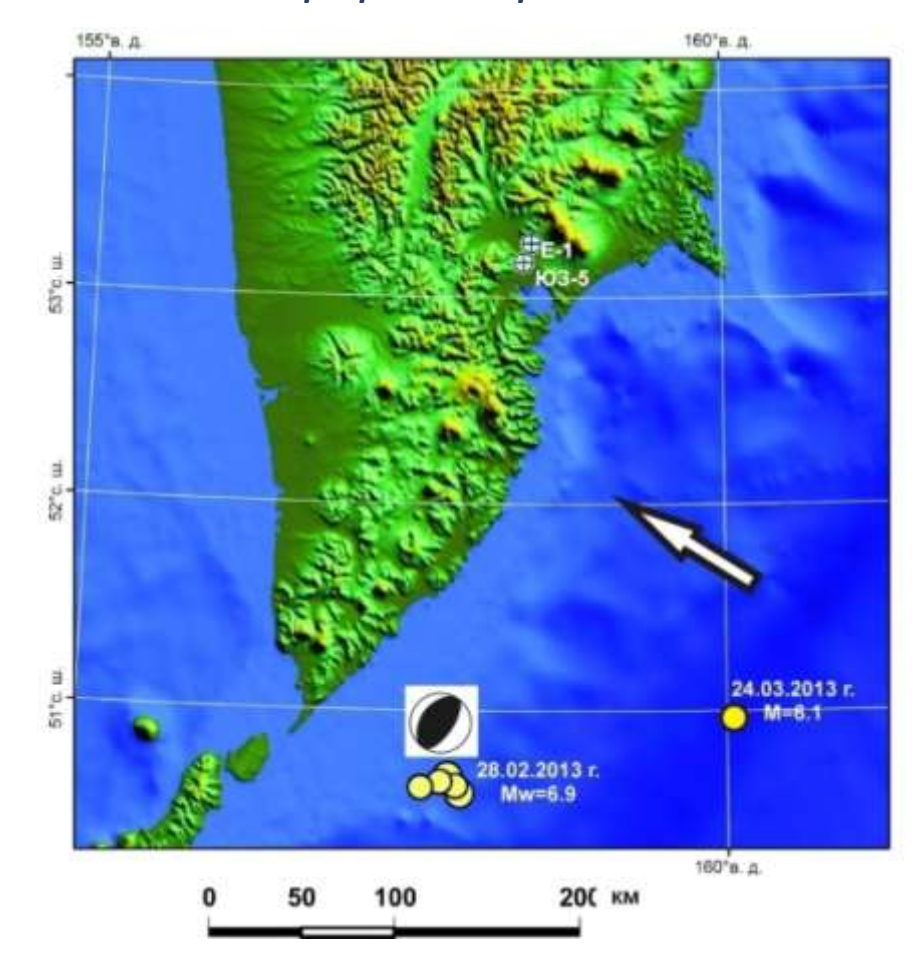


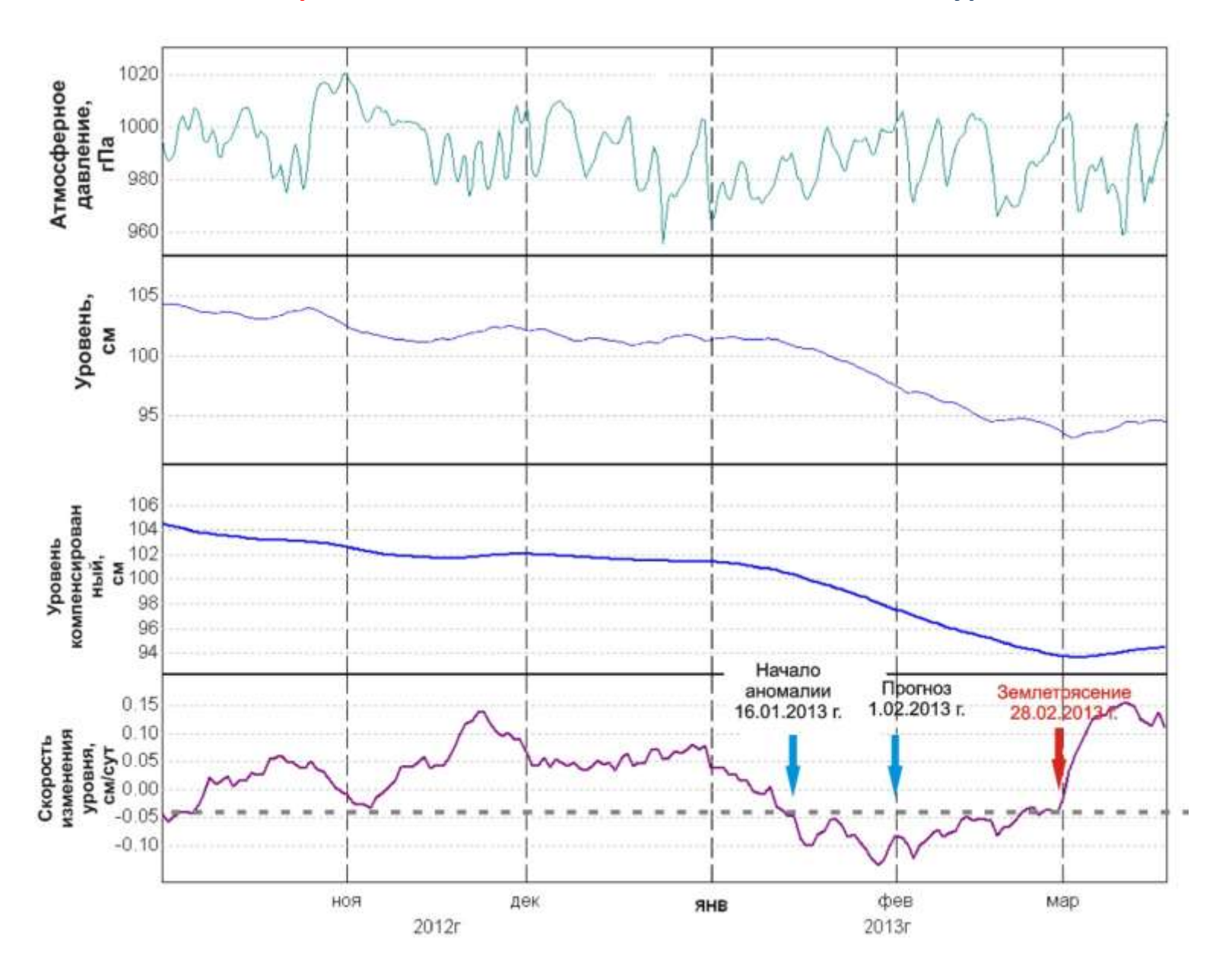
Схема расположения наблюдательных скважин КФ ГС РАН и эпицентров сильных землетрясений, февраль – март 2013 г.



Тп – продолжительность предвестника
Та – заблаговременность предвестника
dT – время от окончания предвестника до
момента землетрясения
Вертикальные стрелки – возможные моменты
землетрясений

Скважина Е-1: данные уровнемерных наблюдений с 1 октября 2012 г. по 18 марта 2013 г.

Предвестник и постсейсмическое повышение уровня



Директору КФ ГС РАН, Председателю КФ РЭС Чеброву В.Н. от зав. лабораторией геофизических исследований Копыловой Г.Н.

Служебная записка

1. Довожу до Вашего сведения информацию по изменениям уровня воды в скважине Е-1:

- с 16 по 31 января 2013 г. наблюдается понижение уровня воды с повышенной скоростью; продолжительность развития «тревожного признака» составляет Tn=15 суток.

Заключение: в течение времени 1-2 месяца повышена вероятность возникновения землетрясения с М≥5.0 на расстоянии до 350 км от скважины.

Опенки надежности прогноза по ретроспективным данным:

- вероятность события с M≥5.0 p=0.45, прогнозная эффективность предвестника I=1.4;
- вероятность события с M≥5.9 p=0.73, прогнозная эффективность предвестника I=2.2.

2. По данным наблюдений на скв. ЮЗ-5 аномальные изменения уровня воды не обнаружены. O Domico be

1.02.2013 г.

Копылова Г.Н.

Параметры землетрясений с М≥5.0, произошедших в течение февралямарта 2013 г. в радиусе до 350 км от скважины:

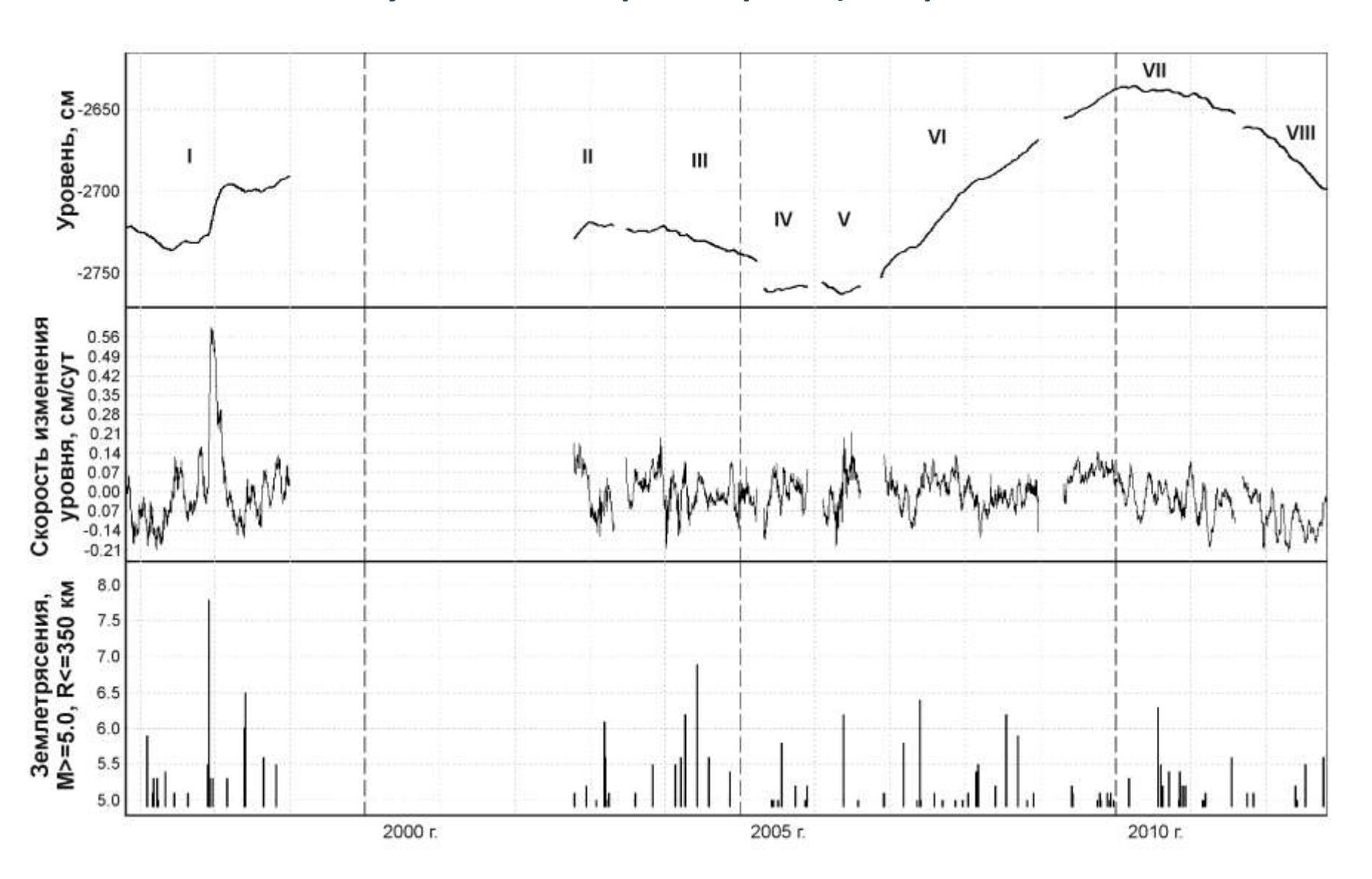
Дата - 28.02 – 24.03.2013 г.:

 $Mw_{MGKC} = 6.9 (28.02)$

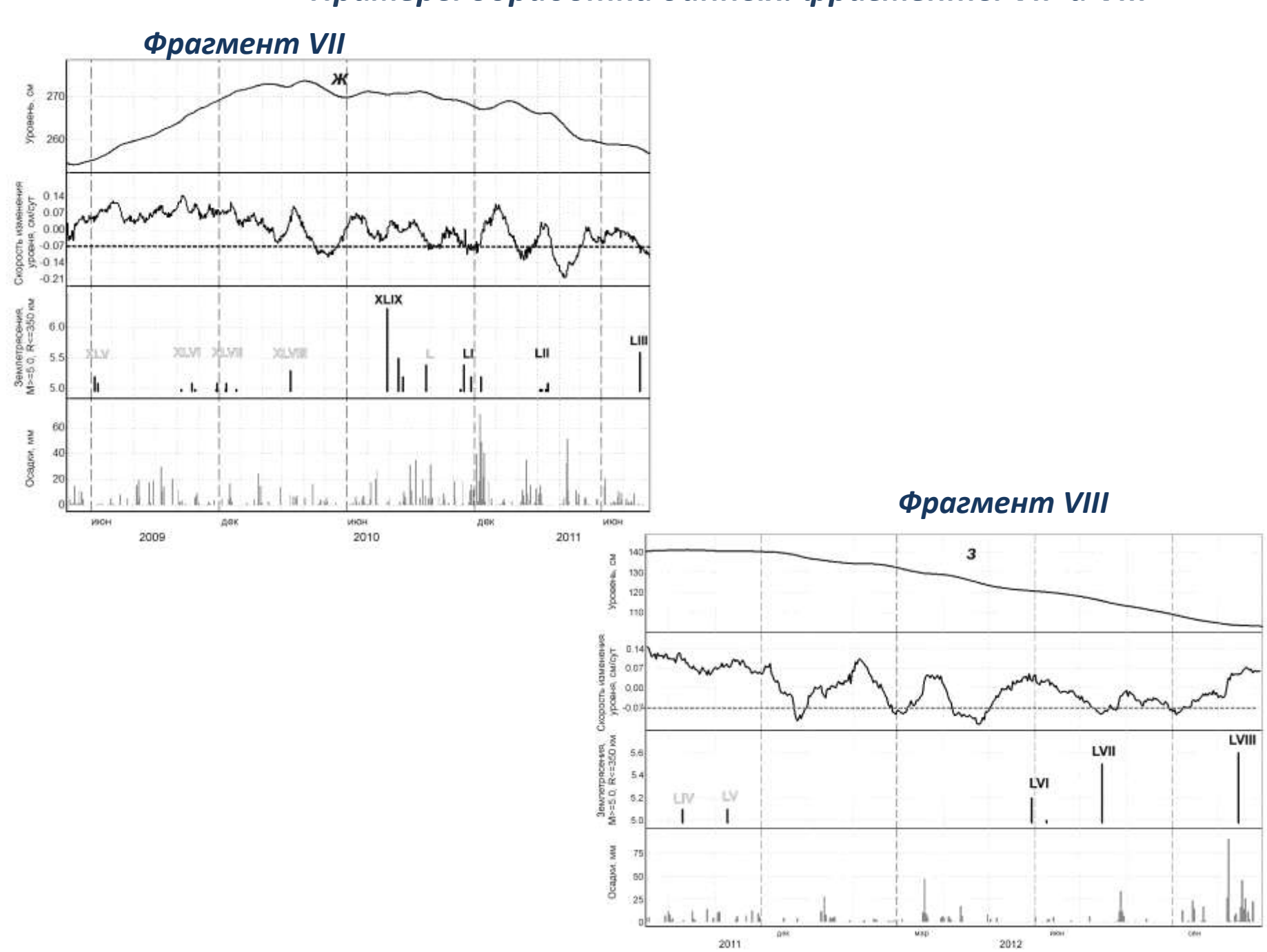
R (расстояние до скважины) – 280-310 км

Прогноз – оправдавшийся. Предвестник - параметрический.

Данные наблюдений на скважине E-1, 1996-2012 гг., используемые для параметризации предвестника



Примеры обработки данных: фрагменты VII и VIII



Результаты оценки сейсмопрогностической информативности предвестника в изменениях уровня воды в скважине E-1 по данным наблюдений 1996 — 31 октября 2012 гг.

Номер	n,	m,	τ=ΣTa',	t,	P=m/n	τ/t	J=P/(τ/t)
фрагмента	шт.	шт.	сут	сут			
I	10	7	285	800	0.70	0.36	2.0
II	5	2	83	196	0.40	0.42	0.94
III	8	4	174	636	0.50	0.27	1.8
IV	5	3	71	215	0.60	0.33	1.8
V	2	1	98	186	0.50	0.53	0.95
VI	14	2	117	765	0.14	0.15	0.93
VII	9	4	311	835	0.44	0.37	1.2
VIII	5	3	177	409	0.60	0.43	1.4
Bcero							
землетрясений с							
M = 5.0 - 7.8	58	26	1316	4042	0.45	0.33	1.4
<i>M</i> = 5.5 − 7.8	23	14			0.61		1.9
<i>M</i> = 5.9 – 7.8	11	8			0.73		2.2

Примечание: n — общее число землетрясений с $M \ge 5.0$ на расстояниях до скважины $R \le 360$ км; m — число землетрясений, перед которыми был выявлен предвестник в изменениях уровня воды; τ — суммарное «время тревоги»; t — общее время наблюдений; P — вероятность связи предвестника и сейсмических событий; J — сейсмопрогностическая эффективность предвестника.

Оценка сейсмопрогностической информативности и параметризация предвестника

Источник сейсмопрогностической информации Район мониторинга очагов землетрясений	Данные уровнемерных наблюдений на скв. Е-1 (56.26°с.ш., 158.48°в.д.), содержащиеся в БД геофизических наблюдений КФ ГС РАН и результаты их обработки Область в радиусе до 360 км от скважины		
Изучаемый параметр	Суточная скорость изменения уровня воды, очищенная от влияния баровариаций и долговременного тренда		
Сейсмопрогностический признак	Увеличение суточной скорости понижения уровня воды до		
(предвестник)	≤ -0.050.07 см/сут в течение не менее 5-ти суток		
Анализируемый период времени	1996 — октябрь 2012 г., время наблюдений T=4042 сут (10.4 лет)		
Результаты ретроспективного	анализа предвестника для землетрясений с М≥5.0		
Число землетрясений, п	58		
Наличие предвестника перед з-ниями, т	26		
Суммарное «время тревоги», Σau	1316 cym		
Отношение Στ/Т	1316 cym/4042 cym = 0.33		
Вероятность связи предвестника и	P=26/58 = 0.45,		
землетрясений Р = т/п	вероятность «пропуска цели» Р _{п. и} .= 0.55		
Эффективность использования предвестника для прогноза $J=P/(\Sigma \tau/T)$	J=0.45/0.33 = 1.4		
Эпицентральное расстояние з-ний , R	100–360 км		
Длительность предвестника, Тп	8–70 cym		
Время от начала предвестника до з-ния,Та	10–122 cym		
Время от окончания предвестника до 3, dT	82 – -56 cym		
Всего случав проявления предвестника	32 случая		
Число соответствий «предвестник» →3	26 случаев, вероятность успешного прогноза землетрясения при проявлении предвестника $p_{v,n}$ =26/32 = 0.81		
Число случаев, когда после проявления предвестника не было землетрясений («ложные тревоги»)	6 случаев, вероятность «ложной тревоги», р _{л.т.} = 6/32=0.19		
(") Controle Hipedoca"			

Результаты ретроспективного анализа предвестника для землетрясений с М≥5.9					
Число землетрясений , п	11				
Наличие предвестника перед 3, т	8				
Вероятность связи предвестника	P=8/11 = 0.73,				
и землетрясений Р = n/m	вероятность «пропуска цели» Р _{п.Ц} = 0.27				
Эффективность использования					
предвестника для прогноза	J=0.73/0.33 = 2.2				
$J = P/(\Sigma \tau/T)$					
Розуду тату у праутучасую за	Предоставление заключений в КФ РЭС с				
Результаты практического	периодичностью один раз в неделю или при				
применения предвестника	обнаружении предвестника в течение 2002–2012 гг.				
Оценка эффективности поданных в	1 1 (3 2002 2008)				
КФ РЭС прогнозов по [Чебров и др., 2011]	1.1 (для 2003—2008 гг.)				

В таких таблицах содержится необходимая информация о предвестнике, которая может использоваться экспертами Специализированных советов при составлении вероятностных прогнозов сильных землетрясений.

3. О перспективах развития прогноза землетрясений <u>по комплексу предвестников</u>

На Камчатке обеспечение сейсмического прогноза по комплексу данных осуществляется Камчатским филиалом Российского экспертного совета по прогнозу землетрясений, оценке сейсмической опасности и риска (КФ РЭС):

Чебров В.Н. — председатель КФ РЭС, директор Камчатского филиала Геофизической службы РАН **Гордеев Е.И.** — зам председателя, академик РАН, директор ИВИС ДВО РАН **Гусев А.А.** — зам. председателя, д. ф.-м. н., ИВИС ДВО РАН **Салтыков В.А.** — ученый секретарь, к. ф.-м.н., КФ ГС РАН

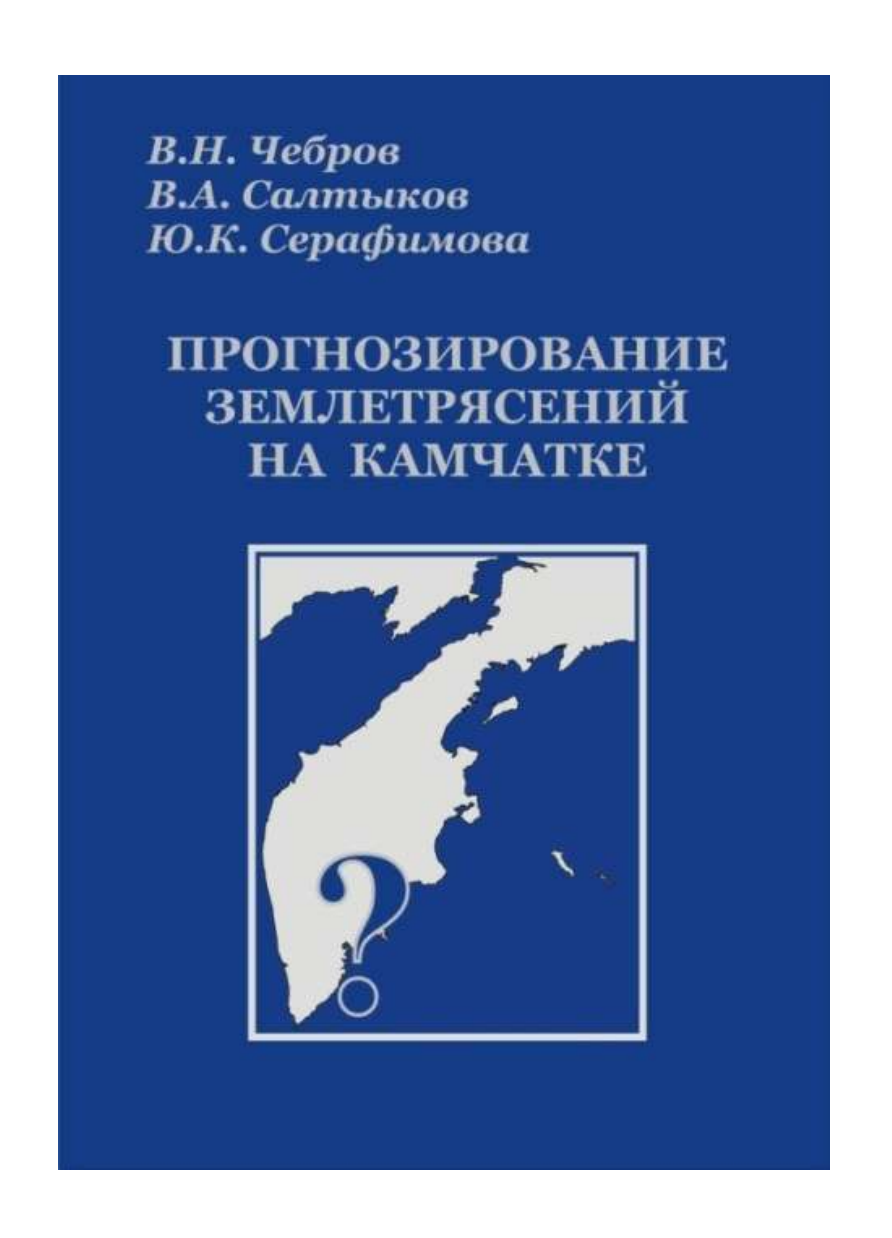
Члены КФ РЭС:

Дружин Г.И., ИКИР ДВО РАН
Селиверстов Н.И., ИВИС ДВО РАН
Смолина Н.Н., ФГУГП «Камчатгеология»
Федотов С.А., академик РАН, ИВИС ДВО РАН
Рябинин Г.В., КФ ГС РАН
Шевцов Б.М., ИКИР ДВО РАН
Широков В.А., КФ ГС РАН
Начальник управления гражданской защиты ГУ МЧС РФ по Камчатскому краю

Начальник станции цунами Камчатского УГМС

Начальник Центра мониторинга и прогнозирования ЧС в Камчатском крае

Источник данных о современном состоянии работ по прогнозированию землетрясений на Камчатке по комплексу предвестников по состоянию на 2010 г.





Пример сообщения КФ РЭС [Чебров и др., 2011]

ПРИЛОЖЕНИЕ 4

Сообщение № 242 (680)

Камчатского филиала Российского экспертного совета по прогнозу землетрисений, оценке сейсмической опасности и риска (КФ РЭС) о сейсмической и пулканической опасности в Камчатском крае по состоянию

на 06 августа 2010 г.

A figure transport of the control of

Сейсмическая активность

За педелю:

30 воля 2010 г в 03:56 (UTC) в Авячивском заливе произовию землетрисение с Мw=6.2 (NEIC), опрушившееся в г. Петропавловско-Каминтском вы средниех грумных интензивностью 4-5 баллов. Землетракения сотровождалось афтерциоковой последовлеть исстью с максимальным по магинтуде землетракениям с Мw=5.4, опрущающимся в краевом центре интензивностью 2-3 балла.

Уровень оейсмический Камчатского участка зоны сублукции – нысокий по шкаля СОУС'09 (http://www.emsd.ru/gmg/sous.pdf).

Загод:

уровень сейсмичности Камчитского участва зоны субдукции - фоновый (средний) по шише COVC 00.

Рассмотрены воминекс динных сейсмозотическим, гидрогохимическим, мониторинг издпочвенных газов, ПТД-мониторинг, изпосферное зондирование, GPS-наблюдения, заключение группы KVERT.

Оценка сейсмической опасности на ближайший месиц.

В r. Петропавловско-Камчатском и r. Еписово землетрясения с сидой сотрясений 7 и более бадлов по 12-бадлымой шкале MSK не ожидиотся.

Среднесрочная оценка сейсмической опасности до 01 января 2011 года.

Районы Каминтского залива, Каминтского пролина (включая район о Бернига) и Кроноцкого нолуострова. По комплексу сейсмологических данных вероитность сипьного $(M \ge 7.0)$ земпетрисении превышает многолетиее среднее значение в 3-5 раз.

Район кота Камчитки и Аначинского задина. По комплексу сейсмологические данных вероятность возникимения землетрясения с $M \ge 7.0$ превышает миоголетиее среднее значение в 7–9 раз.

Оценка вулканической опасности на ближайшую неделю

Вудкан Шивелуч: Активность вудкана продолжнется. В любое время волможна эксплозивных деятельность нудкана с подъемом петти на высоту более 10 км выд уровнем мори. В бликайших населенных пунктих возможных петтионады. Апропольные и петаковые шлейфы могут представлить опасность для полетов по междуняродным и местным миналиниям.

Вудкан Ключовской. Экоплозивно-эффункцио певержение аудкана продолжается. В любое время возможная непловые выбросы на высоту более 7 км над уровнем мори. Аэрозольные и непловые плейфы могут представлять отвенесть для полетов по международным и местным аниализивы.

<u>Вулини Карымский:</u> Эксплозивное извержение вулиция продолжиется. Существует описность пепловых выбросов вы высоту более 6 км выд уроваем моря. Аэрозольные и пятиовые шлейфы могух предстанцить описность для полетов по местным шишливим.

Вутили Безаминный: Активность пулкции продолжается: Аэрэээльные шлейфы могут представлять описность для полетов по местным шишлипини.

Вудкан Горедый. Активность вудкана остается высокой. Аорозодъные шлейфы пудкана могут представлять опысность для полетов по местным авиализивным.

Использовам данные выпледений и заканновий КФ ГС РАИ, ИВыС ДВО РАИ, ИФЗ РАИ, ИКИР ДВО РАИ, ФТИ РАИ, группы КVЕКТ.

Председатель КФ РЭС

06 anayers 2010 r.

г. Петроникловск-Казвитский

В.Н. Чебров

Временной ряд $\alpha(t,i) = \beta(t,i)/\gamma(t,i)$,

 ${\it где}\ eta$ - число методов, по которым выделялись предвестники на время і-ого заседания ${\it K\Phi}\ {\it PЭC};$

 γ - общее число сейсмопрогностических методов, по которым на время і-ого заседания КФ РЭС имелась информация;

t – время і-ого заседания КФ РЭС в сутках от 1-ого его заседания.

В результате ретроспективного анализа временного ряда $\alpha(t_i)$ в сопоставлении с произошедшими землетрясениями будут определены:

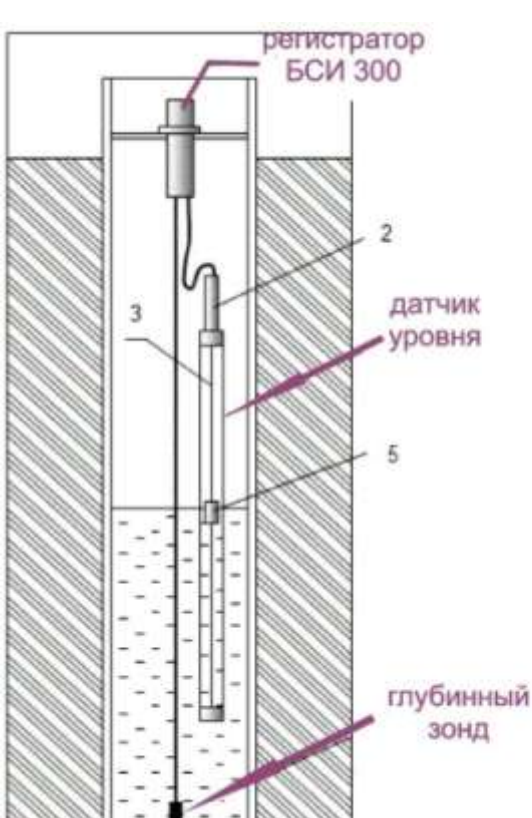
- пороговое значение магнитуды землетрясений M_{nop} и пространственно-временные закономерности распределения землетрясений с $M \ge M_{nop}$, сопровождающихся предшествующими повышениями значений $\alpha(t_i)$;
- оценки времени (заблаговременности) проявления повышенных значений $\alpha(t_i)$ перед землетрясениями с **M≥M**_{пор};
- формулируется вывод о наличии либо об отсутствии связи ряда $lpha(t_i)$ и сильных землетрясений Камчатки.
- **Если такая связь будет выявлена**, то необходимо дать ее параметрическое описание.

Дальнейшее развитие предлагаемого направления в повышении информативности комплекса предвестников для прогноза времени сильных землетрясений <u>будет определяться:</u>

- результатами параметризации отдельных сейсмопрогностических методов и предвестников;
- обоснованием введения для них весовых коэффициентов при построении временного ряда $\alpha(t_i)$.

Измерительный комплекс Кедр ДМ с телеметрической передачей данных (ООО Полином, г. Хабаровск):

- 1 регистратор БСИ 300 со <u>встроенными датчиками температуры воздуха, атмосферного давления,</u> GPRS-модемом и GSM-антенной;
- 2 датчик уровня воды (ультразвуковой);
- 3 глубинный зонд с датчиками температуры и электропроводимости воды ;
- 4 блок управления-индикации;
- 5 модуль энергонезависимой памяти Н 20;
- 6 блок считывания данных БСН-200;
- 7 программное обеспечение;
- 8- источник питания;
- 9 комплект соединительных кабелей











Интервал регистрации параметров — 5 минут Передача данных — 1 раз в час.
Обработка данных производится <u>ежедневно</u>.
Данные наблюдений представляются по адресу: http://www.emsd.ru/lqi/observations

Технические характеристики комплекса Кедр-ДМ

[Кедр-ДМ: комплекс для мониторинга..., 2007]

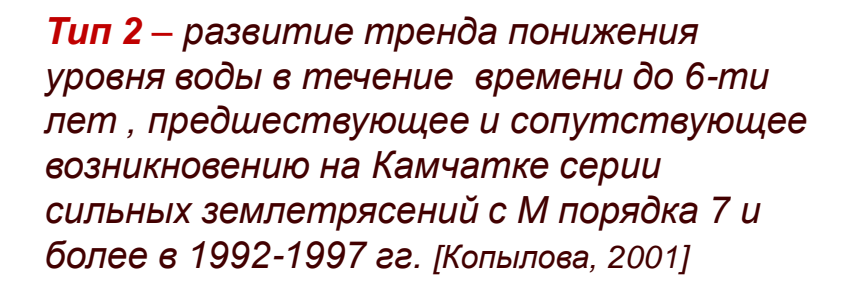
Регистратор БСИ 300					
Диапазон установки интервала измерений	5 - 60 минут				
Разрешающая способность датчика давления	0.1 гПа (0.1 см вод. ст.)				
Разрешающая способность датчика температуры воздуха	0.1° C				
Напряжение питания (постоянный ток)	8-15 B				
Датчик уровня					
Разрешающая способность датчика уровня	0.01 cm (0.1 cm)				
Основная погрешность измерения уровня	0.5 %				
Глубинный зонд					
Разрешающая способность датчика температуры воды	0.01° C				
Погрешность измерения температуры воды в диапазоне 0-100° С	0.5 %				
Разрешающая способность датчика электропроводимости воды	1 mCm/m				
Диапазон измерения электропроводимости	2-2000 MCM/M				

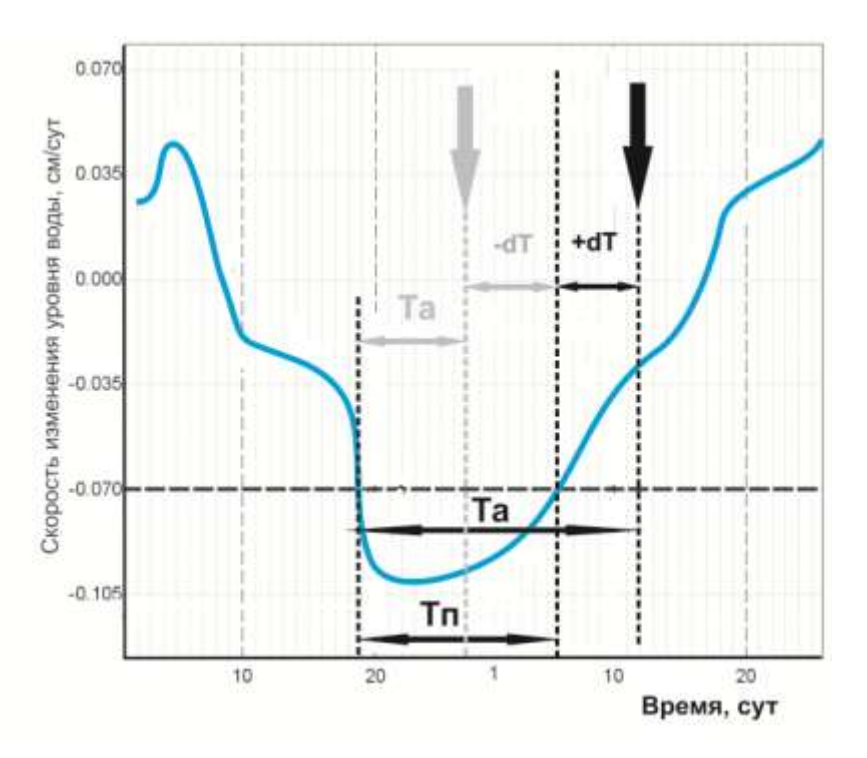
Пополнение базы данных уровнемерных наблюдений, их обработка и визуализация производятся <u>ежедневно</u> с использованием автоматизированной информационной системы ИС POLYGON и входящей в нее программы DIAGNOS [Копылова, Латыпов, Пантюхин, 2003].

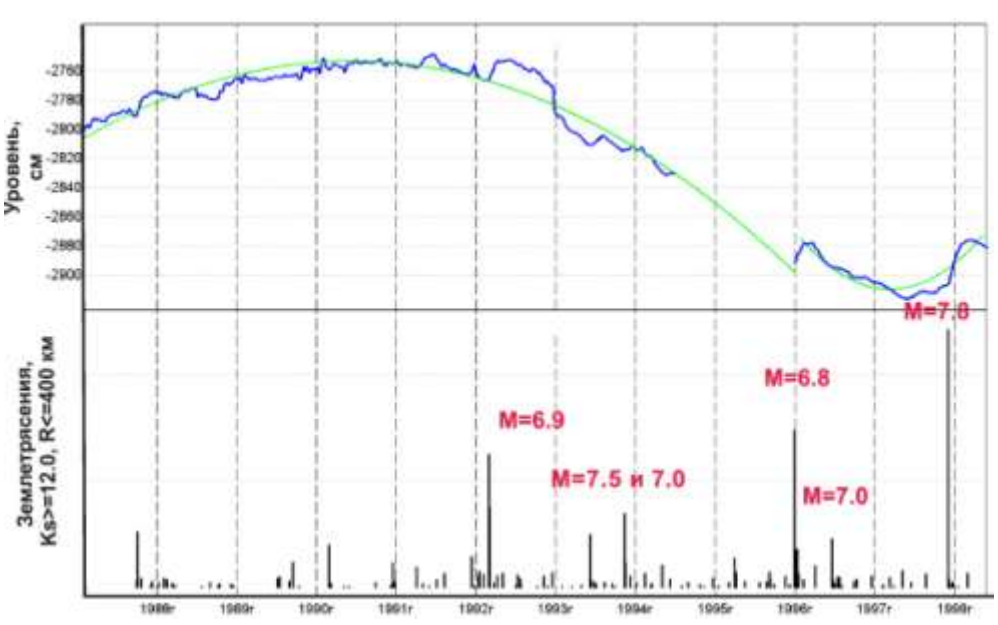
Данные наблюдений представляются на сайте КФ ГС РАН (страница лаборатории геофизических исследований): http://www.emsd.ru/lqi/observations

О проявлении двух типов сигналов в изменениях уровня воды в скважине Е-1, связанных с подготовкой сильных землетрясений

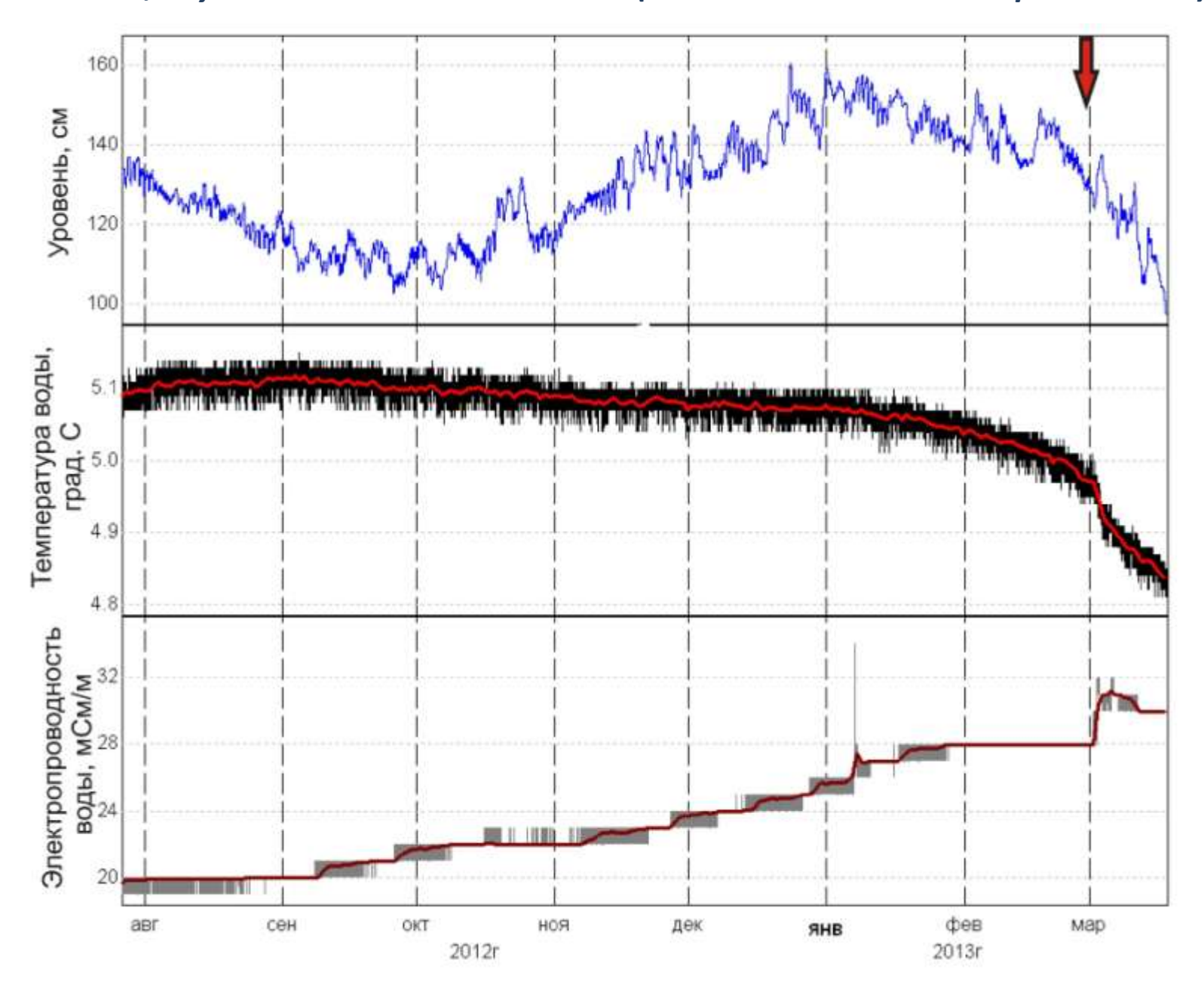
Тип 1 — понижения уровня воды с повышенной скоростью перед землетрясениями с *M*≥5.0 на расстояниях до 350 км в течение суток — десятков суток [Копылова, 2008 и др .]. Проявляется перед 73% землетрясений с *M*≥5.9 [Копылова, Сизова, 2012]







Изменение температуры и электропроводности воды: скв. Ю3-5, глубина 97 м ниже оголовка (27 июля 2012 г. – 17 марта 2013 г.)



Изменение температуры и электропроводности воды: скв. Е-1, глубина 20 м ниже уровня воды (1 января – 17 марта 2013 г.)

